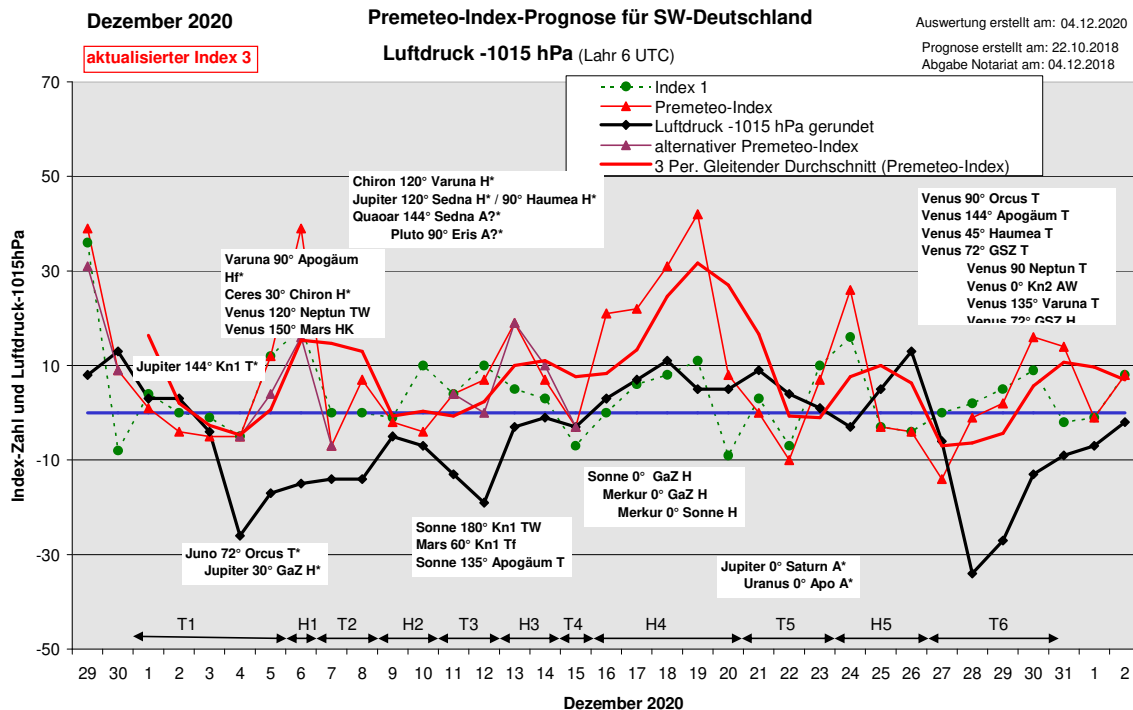


## Wetterlagenverlauf Dezember 2020 im Vergleich zur Premeteo-Indexprognose für Südwest-Deutschland

(Im Diagramm sind über der Datumsachse die real eingetreten Hoch- und Tiefdruckphasen durch Doppelpfeile eingetragen. Ausschlaggebend für die Evaluation ist der tägliche Premeteo-Index, in der dünneren, roten Linie mit Dreieckspunkten dargestellt. Ein negativer Premeteo-Index zeigt die Wahrscheinlichkeit für eine zyklonale Tiefdruckströmung, ein positiver Premeteo-Index die Wahrscheinlichkeit für eine antizyklonale Hochdruckströmung an.

Die Wetterlagenbeschreibungen wurden anhand der Berliner Wetterkarten erstellt. Ausschlaggebend ist die Europa-Bodenkarte um 0 UTC, die feiner skalierte 12 UTC-Karte von Mitteleuropa wird nur bei einem Wetterlagenwechsel für die Einordnung des Tages hinzugezogen. Am Ende des Dokuments befinden sich die Tabellen und Konstellationen, die dem Diagramm zugrunde liegen.)



**Zusammenfassung:** Die Statistik des Dezember 2020 ist bezüglich der Wetterlagenbestimmung mit 18 richtig und 13 falsch bestimmten Tagen nicht zufrieden stellend ausgefallen. Nur der Oktober war in diesem Jahr noch schlechter gewesen.

Allerdings herrschten im Dezember ganz andere Konstellationsbedingungen als im Oktober. Der Dezember fiel auf durch eine ungewöhnliche Häufung von Tiefdruckaspekten auf, an denen besonders die Venus stark beteiligt war. Der Jahresdurchschnitt 2020 für T-Aspekte pro Monat lag bei rund 30, für H-Aspekte bei 40. Im Dezember traten nun 51 T-Aspekte auf, was eine Steigerung auf 169 % gegenüber dem Normalwert bedeutete, während die Anzahl der 41 H-Aspekte ziemlich genau dem jährlichen Durchschnitt pro Monat entsprach. Dadurch war der gesamte Dezember auch zyklonaler gestimmt, als es für unsere Region hier üblich ist. Es gab 18 zyklonale und nur 13 antizyklonale Tage, während im Durchschnitt in diesem Jahr rund 21 antizyklonale und 10 zyklonale Tage pro Monat das Mittel waren.

Ein ähnlich zyklonal gestimmter Monat war auch der Juni 2020 gewesen. Dieser wies ein Minimum von 118 Aspekten insgesamt auf. (Das Mittel pro Monat liegt zwischen 170 bis 180 Aspekten). Davon trugen 18 Aspekte einen H- und 23 Aspekte einen T-Impuls. Dass es in einem Monat mehr T- als H-Aspekte gibt, tritt für die südwestdeutsche Region nur äußerst selten auf. Die Folge war, dass auch der Juni 2020 nur 13 Hochdrucktage und 17 Tiefdrucktage aufwies.

Diese oben beschriebenen und im Grunde einfach zu beobachtenden Zusammenhänge weisen darauf hin, dass die Premeteo-Hypothese von der Relevanz der planetaren Relativbewegungen in einem hypostasierten Raum, wie Kant den Raum in seinem Opus Postumum bezeichnete und Einsteins relativistische Raumzeit philosophisch begründet schon vorwegnahm, zutreffend ist. Die Relativbewegungen der Himmelskörper zeigen somit einen starken Einfluss auf Teilchen- und Gasströmungen, die in der Größenordnung einer Erdatmosphäre wetterwirksam und in geeigneten Regionen gut beobachtbar sind.

Trotz der relativ hohen Zahl von Fehlprognosetagen in diesem Dezember unterschied sich der mittlere Premeteo-Index pro Tag in Hoch- und Tiefdruckwetterlagen deutlich. Bei den Hochdrucklagen hatte er einen Wert von +15,54 bei den Tiefdruckwetterlagen nur von +1,17. Bei den Tiefdruckwetterlagen sollte er der Theorie nach negativ sein, aber es kommt eben häufig zu kleinen zeitlichen Verschiebungen des realen Wetters gegenüber der Premeteo-Prognose.

Liest man die auswertenden Zusammenfassungen über alle 128 Monate der Premeteo-Monatsprognosen seit Mai 2009, kann man aber auch erkennen, wie individuell verschieden sich die kausalen Zusammenhänge in den Konstellationsmustern eines jeden Monats bei dem Auftreten der Hoch- und Tiefdruckphasen darstellen. Jeder Wetterzeitraum nimmt, rückführbar auf eine zwar überschaubare Anzahl von Beobachtungsausgangspunkten, in deren Kombination letzten Endes doch ganz individuelle Strukturen an, die im Wettergeschehen dann wiederum zu den zwei Grundformen der Zyklonalität und Antizyklonalität der Atmosphärenströmungen führen.

Die höchste Tagesmitteltemperatur trat in Lahr mit jeweils 13,4° C am 22. und 23. Dezember mit Ceres 72° GaZ W\* auf. Weitere exakte Konstellationen dieser beiden Tage waren Mars 0° Eris A, Pallas 180° Varuna H\*, Venus 90° Ceres AK?, Uranus 0° Apogäum A\* zusammen mit Jupiter 0° Saturn A\* um 18:23 UTC des 21. Dezember.

Die tiefsten Tagesmitteltemperaturen des Monats in Lahr wurden mit 1,4° und 1,8° C am 10. und 11. sowie mit 1,3° C am 26. Dezember ermittelt. Die herausragenden Aspekte, neben einer Serie von Merkur-Aspekten, waren Pluto 90° Eris A\* und Venus 60° Pluto TK / 150° Eris H.

Luftdruckmaxima um 6 UTC in Lahr stellten sich am 18. mit 1026,3 hPa und am 26. mit 1028,2 hPa mit Venus 60° Pallas H und Sonne 0° GaZ H (18.) und Sonne 0° Quaoar H (26.) ein.

Die tiefsten Luftdruckdurchgänge fanden am 4. mit 988,9 hPa (Juno 72° Orcus T\*), am 12. mit 995,8 hPa (Sonne 120° Mars AW / 180° Kn1 TW / 135° Apogäum TK?, Mars 60° Kn1 Tf) und am 28. mit 980,7 hPa (Sonne 120° Uranus TK) statt.

### **Beschreibung der einzelnen Wetterphasen:**

**Tiefdruckphase 1:** Der Dezember 2020 begann mit einer Tiefdruckströmung durch Tief Undine III über der Nordsee. Der Premeteo-Index war mit +1 noch schwach positiv und wechselte zum 2. in den schwach negativen Modus von -4. Dabei kam Südwestdeutschland in den Isobarenbereich von einem Tief über Korsika, wodurch die Nachtfröste der vergangenen Tage in tieferen Lagen beendet wurden. Zum 3. setzte sich die Zyklonalität mit Tief Virpy mit Kernen nördlich Schottlands und bei Island wieder von Norden her durch. Zugleich entwickelt sich Tief Wenke über dem Atlantik sehr stark und erreichte mit seinem Kern am 4. den Ärmelkanal. Mit Juno 72° Orcus T\* erreichte der Luftdruck ein Minimum, während die Tagesmitteltemperatur ein Maximum erreichte. Auch am 5. bestimmten Tief Wenke über Großbritannien und Tief Xunav über dem Westmittelmeer die zyklonale Wetterlage, wobei der Premeteo-Index schon auf +12 geklettert war. Er summierte über die 5-tägige Tiefdruckphase dadurch nur auf -1.

**Hochdruckphase 1:** Um 0 UTC des 6. lag Südwestdeutschland noch im Isobarenbereich von Tief Xunav über dem Golf von Genua, doch bis 12 UTC entwickelte sich über unserer

Region eine flache antizyklonale Strömung, die um 0 UTC des 7. als flacher Hochdruckkeil von der Iberischen Halbinsel über Frankreich gerade bis an Südwestdeutschland heranreichte. Der Premeteo-Index hatte einen Wert von +39. Der hohe Wert kam aus Index 1 und 2. Der tiefe Luftdruckverlauf schien aber mit der Dreifachaspektierung von Venus zusammenzuhängen: Venus 120° Neptun TW / 150° Mars HK / 45° Quaoar T und deutet auf einen starken Regionalbezug des Venus-Mars-Verhältnisses hin.

**Tiefdruckphase 2:** Um 12 UTC des 7. hatte sich die Strömung wieder zyklonalisiert und Tief Xunav mit Kern über der nordwestlichen Nordsee reichte am 8. über ganz West- und Mitteleuropa. Der Premeteo-Index summierte über die 2-tägige Tiefdruckphase auf 0.

**Hochdruckphase 2:** Um 0 UTC des 9. befand sich Südwestdeutschland noch im Isobarenfeld von Tief Xunav I über Schottland, doch entwickelte sich bis 12 UTC über unserer Region eine flache antizyklonale Strömung, die am 10. eine sehr schmale, flache Hochdruckbrücke ausbildete zwischen dem Tiefdrucksystem Zölestine mit Kernen südlich von Island sowie über Südwestengland und dem Tiefdrucksystem Yvonne mit Kernen über Norditalien sowie dem Balkan. Auf 500 hPa war die Strömung entsprechend dem Premeteo-Index jedoch zyklonal. Dieser summierte über die 2-tägige Hochdruckphase auf -6.

**Tiefdruckphase 3:** Um 0 UTC des 11. lag Südwestdeutschland noch im Isobarenbereich von einem Hoch über den Alpen, doch ging bis 12 UTC die Atmosphäre über unserer Region in eine zyklonale Strömung über, die am 12. von dem Tiefdrucksystem Andira mit Kernen südlich von Island, über der Nordsee und westlich von Korsika gestaltet wurde. Der Premeteo-Index verlief im schwach positiven Bereich. Mit Sonne 120° Mars AW / 180° Kn1 TW / 135° Apogäum TK? kam es zur Zufuhr sehr warmer Luftmassen, die die Zyklonalisierung verstärkten. Der starke Aspekt Mars 60° Kn1 Tf war wegen des fast-exakten Aspekts Mars 144° Orcus H nicht angerechnet worden, hatte aber wohl doch den größeren Regionalbezug. Der Premeteo-Index summierte über die 2-tägige Tiefdruckphase auf +11.

**Hochdruckphase 3:** Um 0 UTC des 13. wurde die Atmosphäre über unserer Region noch von Tief Andira II über den Beneluxländern bestimmt, doch antizyklonalisierte sich die Strömung bis 12 UTC und ging bis 0 UTC des 14. in den Isobarenfeld von Hoch Yadigar mit Kern über den Ostalpen über. Der Premeteo-Index summierte über die 2-tägige Hochdruckphase auf +26.

**Tiefdruckphase 4:** Das Tiefdrucksystem Barbara-Chantal mit Kernen südlich von Island und über Benelux bestimmte am 15. die Wetterlage. Der Premeteo-Index hatte einen Wert von -3.

**Hochdruckphase 4:** Der Kern von Hoch Yadigar erreichte zum 16. die Südukraine und übte erneut seinen Einfluss bis über unsere Region aus. Es ließ nun den Luftdruck kräftig ansteigen und sein Kern lag am 17. über dem Schwarzen Meer. Am 18. hatte sich ein Hochdruckkern über den Ostalpen ausgebildet und die Hochdruckphase erreichte über unserer Region ihren Höhepunkt. Zum 19. und 20. senkte sich der Luftdruck etwas ab und Südwestdeutschland lag im schon abgeschwächten Übergangsbereich zwischen Hoch Yadigar I und II mit Kernen über Südwestrussland und Balkan und dem Tiefdrucksystem Eva-Fernanda über dem Nordostatlantik. Dies verursachte eine ruhige, trübe Witterung mit meist grau verhangenem Himmel und Neigung zu Nieselregen. Der Premeteo-Index summierte über die 5-tägige Hochdruckphase auf +124. Interessant bei dieser Hochdruckphase war, dass, mit Sonne 0° Gaz H genau in der Mitte (18.) der Phase, die Kernpositionierungen immer östlich oder südöstlich unserer Region auftraten. Merkurs Konjunktion mit dem Galaktischen Zentrum wurde am 19. exakt und am 20. trat der exakte Moment der Sonne-Merkur-Konjunktion ein.

**Tiefdruckphase 5:** Hoch Yadigar mit Kern über der Westukraine dehnte sich auch noch um 0 UTC des 21. bis über unsere Region aus, doch um 12 UTC hatte sich schon eine zyklonale Strömung eingestellt, die am 22. durch Tief Greta II mit Kern über dem Nordmeer fortgesetzt wurde. Um 0 UTC des 23. übernahm vorübergehend ein Hoch über Norditalien den Luftraum von Südwestdeutschland, musste aber bis 12 UTC wieder weichen, als sich die Kerne von Tief Greta I und II bis zum 24. nach Süden über den Ärmelkanal und Norddeutschland verlagerten. Der Premeteo-Index summierte über die 3-tägige Tiefdruckphase auf -3.

**Hochdruckphase 5:** Um 12 UTC des 24. übernahm die antizyklonale Strömung von Hoch Zven über dem Atlantik unser Gebiet. Bei diesem Wechsel der Strömungsform kam es zu

ausgiebigem Schneefall und einem starken Absinken der Lufttemperatur. Der Kern von Hoch Zwen verharrte bis zum 26. über dem Atlantik. Der Premeteo-Index summierte über die 3-tägige Hochdruckphase auf +19.

**Tiefdruckphase 6:** Tief Hermine mit Kern nördlich von Schottland ließ den Luftdruck am 27. um rund 30 hPa im Laufe des Tages fallen. Dies ging einher mit vier dicht aufeinander folgenden, exakten Venus-T-Aspekten: Venus 90° Orcus T / 144° Apogäum T / 45° Haumea T / 72° GSZ T. Am 28. hatte der Tiefdruckwirbel einen Kern über Großbritannien und einen weiteren über dem Nordmeer. Am 29. kam ein dritter Kern über den Beneluxländern hinzu. Zum 30. hatte sich das Zentrum der großräumigen, zyklonalen Strömung weiter nach Süden verlagert und zeigte außer dem Kern über dem Nordmeer noch Kerne über Dänemark, dem Golf von Genua und Tief Kira über der Adria. Der Premeteo-Index hatte dagegen schon einen positiven Wert von +16 durch die beiden Aspekte Pallas 144° Orcus H\* und Saturn 120° GSZ H\* erreicht. Aber es kam nur zu einem relativ geringen und langsamen Luftdruckanstieg, möglicherweise durch die weiteren Venus-T-Aspekte, die vom 29. bis 31. noch exakt wurden: Venus 45° Jupiter / 90° Neptun / 135° Varuna sowie 0° absteigender Mondknoten AW / 72° GSZ H. Es wurde schon einige Male beobachtet, dass eine solche Serie von kurzzeitig aufeinander folgenden Venus-T-Aspekten sich gegenüber zeitgleich auftretenden, höherrangigen H-Aspekten durchsetzte. Außerdem steht die retrograd rotierende Venus häufig mit Impulsumkehrungen in Verbindung, besonders wenn dazu noch ein Aspekt mit der sich retrograd bewegenden Mondknotenachse auftritt. Am 31. prägten Tief Julia II über dem Ärmelkanal, Tief Hermine über der Nordsee und Tief Kira über der Adria die starke zyklonale Strömung. Der Premeteo-Index summierte über die 5-tägige Tiefdruckphase auf +17.

SW-D befand sich an 13 Tagen im Einflussbereich antizyklonaler Strömung. Die Summe des prognostizierten Premeteo-Index für diese Tage ergab +202. Dies entsprach einer Indexzahl von +15,54 pro Tag.

An 18 Tagen befand sich SW-D im Einflussbereich zyklonaler Strömung. Die Summe des prognostizierten Premeteo-Index für diese Tage ergab +21. Dies entsprach einer Indexzahl von +1,17 pro Tag.

Die Prognose durch die Premeteo-Wettersymbole war an 9 Tagen falsch (am 5., 6., 13., 16., 17., 19., 24., 30., 31.), an 3 Tagen richtig und an 19 Tagen tendenziell richtig.

**04.12.2020**  
**Dezember 2020**  
**01.12.2020**



Prognose für SW-Deutschland

aktualisierter Index 3

Vom 27.11. bis 03.12. Vesta 0° Orcus, vom 29.11. bis 07.12. Pallas 0° Saturn. Am 11./12. Sonne 0° absteigender Mondknoten, vom 13. bis 30. Jupiter 0° Saturn, vom 16. bis 31. Uranus 0° Apogäum (Dauerauslösung Uranus 150° Makemake H°+9 wird wegen Gewöhnungseffekt nur drei Tage lang angerechnet), 18./19. Sonne 0° GaZ, 20. bis 25. Mars 0° Eris, 25./26. Sonne 0° Quaoar. Die rot markierten Aspekte im Index 3 sind Aspekte, bei denen der ursprüngliche Konjunktionsplanet den höheren Rang hat als der Partnerplanet. Das bedeutet, dass der Konjunktionsplanet bei diesen Aspekten immer als Planet 2 auftritt. Diese Aspekte werden ab Januar 2020 nicht mehr angerechnet.

Langsamläufer-Impulse		T*		T*	H*	H*, H*			2H*		
Schnellläufer-Impulse	2H		T, H	H	2T, 2H, Hf	2T, 2H	2T		3T, H	4T, H	
Temperaturimpulse		W		K	W?	W, K	K?, K		K	K	
Premeteo-Index - zyklonal, + antizyklonal (Index 1+2+3)	1	-4	-5	-5	12	39	-7	7	-2	-4	
Pre.IX (ALTERNATIV)					4	37					
Index 1 (12 - 12 UTC) exakte Aspekte des Tages	4	0	-1	-5	12	18	0	0	-1	10	
Index 1 (ALTERNATIV)					4	16					
Symmetrien (0 - 0 UTC)		Sed 3op Jun Mer (15) H° A° --- Index 1 am 3!		Ura 145 Son GSZ (05) T A(45) A-7 Son 44 Jup Hau (07) A A H° --- Mer 9 Son Jun (08) H A --- Jun 9 Ven Mer (16) H A --- Chi 3op Mak GSZ (19) H°(42) T°(25) Ura 3op Ven Hau (19) A H°(51,5) ---	Chi 120 Var Mer (00) H°(80,5) A T --- Mer 120 Chi Var (01) A T H°(80,5) --- Var 120 Chi Mer (01) H°(80,5) T A --- Son 45 Sat Hau (07) A A T°(4124) --- Hau 45 Son Orc (07) A T° A-7	Ven 46 Qua GSZ (03) T H ° ? Ura 150 Mak Mer (08) H° H A +14	Jup 68 Ven Chi (16) T ---	GaZ 30 Jup Jun (02) H° A° A° +7 Ven 68 Sat Orc (15) H° ---	Sat 1 Jup Pal (08) A(46,5) A° 0 Auslösung Index 3!	Mer 45 Jup Hau (08) A T H°(+14) Var 149 Qua Cer (13) Tat° A° A° -14 Hau 45 Orc Mer (15) T T T(-14) Index 1 am 11! Mer 45 Sat Hau (16) A T T°(4124)(-17)	
Index 2 (12 - 12 UTC)	0	0	0	-7	-7	14	0	7	0	-14	
Index 2 (ALTERNATIV)											
ausgelöste Aspekte (= durch Konjunktionen aktivierte Aspekte)	Mer 60 Sat H1 Sat 120 Sed H7 Orc 45 Hau T-11	Sat 120 Sed H7 Jun 72 Orc T-5 Orc 45 Hau T-11	Sat 120 Sed H7 Jun 72 Orc T-5 Orc 45 Hau T-11	Sat 120 Sed H7	Sat 120 Sed H7	Sat 120 Sed H7	Sat 90 Hau T-7		Auslösung durch Index 2: Sat 90 Hau T° -7 Jup 30 GaZ H° +6		
Index 3 (Summe)	-3	-4	-4	7	7	7	-7	0	-1	0	
Index 3 (ALTERNATIV)											
Symbol-Prognose	3	3	3	3	2	2	3	3	3	3	
Symbol-Prognose altern.	3	3	3	3	3	3	3	3	3	3	
Wochentag	Di	Mi	Do	Fr	Sa	So	Mo	Di	Mi	Do	
Datum	1	2	3	4	5	6	7	8	9	10	
reale Wetterlage	T1: 2T*, 3T - H*, Hf, 6H / -1					H1: H° H° 2H-2T / +39		T2: 2T / 0			H2: 2H*, 3H - 7T / -6
Luftdruck (hPa) 06 UTC	1017,7	1017,7	1010,7	988,9	988,4	1000,1	1000,9	1001,4	1010	1007,7	
mittl. Temp. (°C)	2	2,4	3,2	5,1	3,4	4	4,4	2,1	2,6	1,4	
Sonnenscheindauer (h)	0	0	1,7	0	0,3	0	0,9	2,5	0,3	0	
Niederschlag (Liter)	2,4 / 9	0	0	6,1 / 2	0,4 / 8	1,2 / 4,5	0	0	0	0	
Bodenwetterlage 00 UTC (Kernlage des Druckgebiets, das SW-D beeinflusst)	T ü Nsee	T ü Korsi	T ü Nm, T ü CG-Adria	T ü Arnel, H ü R	T ü GB, T ü W-Mm, H ü R	T ü GG	H-Keil von Iber ü F bis SW-D	T ü W-F, T ü NW-Mm, T ü NW-Nsee	T ü Schottl, T ü Ital	fl. schm H-Brücke zw T ü SW-GB u T ü N-Ital, Balk	
Bodenströmung 12 UTC zyklonal (z), antizyklonal (a)	a-z	z	z	fl a	fl a	fl a	fl z	fl z	fl a	a	
Strömung auf 500 hPa 00 UTC	W a-z	O z	N z	SW z	SW z	S a-z	SO z	SO z	SO z	SO z	
zutreffende Wettersymbole	5 hr	5 hr	5 hr	5 hr	5 hr	5 hr	5 hr	2-5 r	3-5 hr	5 hr	

Übertrag	01:04	01:19	03:51	06:12	00:41	00:42	02:22	02:28	01:49	03:32
Index 1: +1	CER 60 QUA FIS 03°42'49" STE 03°42'49" A°	PAL 90 EL6 STE 28°20'22" WAA 28°20'22" A°	VEN 144 KNI SKO 14°23'23" ZWI 20°23'24" A°	MER 30 QUA SCH 03°47'35" STE 03°47'37" A°	MER 120 CHI SCH 04°59'44" WID 04°59'46" A°	SON 72 GSZ SCH 14°20'43" WAA 02°20'43" A°	CER 60 APO FIS 05°05'58" STI 05°05'58" A°	<b>QUA 144 SED</b> STE 03°54'06" STI 27°54'06" A°(6,5,2)	MER 144 APO SCH 11°19'11" STI 05°19'11" T-1	MER 45 JUP SCH 12°59'44" STE 27°59'42" A°
Index 2: 0	VEN 45 GaZ SKO 12°01'33" SCH 27°01'32" H+2	VEN 60 ORC SKO 13°12'40" JUN 13°12'40" A	SON 45 JUP SCH 11°36'25" STE 26°36'25" A	<b>JUN 72 ORC</b> SKO 25°13'06" JUN 13°13'06" T°-5	MER 120 VAR SCH 05°00'51" LOW 05°00'49" T-1	CHI 30 APO WID 04°59'10" STI 04°59'10" A°	MER 45 PLU SCH 08°26'01" STE 23°26'02" A	<b>CHI 120 VAR</b> WID 04°57'36" LOW 04°57'36" H°(80,5)+8	MER 90 ORC SCH 13°13'44" JUN 13°13'45" T-1	
	MER 144 ERI SKO 29°35'41" WID 23°35'41" H+1	SON 144 APO SCH 10°35'35" STI 04°33'54" A°	MER 60 GSZ SCH 02°20'41" WAA 02°20'41" T-1	MER 90 CER SCH 04°32'36" STI 07°20'07" H K ---	SON 144 URA SCH 13°23'08" STI 07°20'07" T-3	VEN 120 NEP SKO 18°10'42" FIS 18°10'41" T W 0,2	MER 135 ERI SCH 08°33'30" WID 23°33'29" T-1	<b>JUP 120 SED</b> STE 27°53'26" STI 27°53'26" H°+6	MER 144 URA SCH 13°13'56" STI 07°13'55" T-2	
	PAL 135 ORC STE 28°12'32" JUN 13°12'32" A°	<b>JUP 144 KNI</b> STE 26°25'43" ZWI 20°25'43" T° ---	VEN 72 JUP SKO 14°36'29" STE 26°36'30" A	SON 90 ORC SCH 13°13'12" JUN 13°13'12" A	VEN 72 SAT SKO 16°47'05" STE 28°47'05" A	<b>VAR 90 APO</b> LOW 05°00'01" STI 05°00'01" H°+11	APO 45 KNI STI 05°09'18" ZWI 20°09'18" A°	JUN 30 GaZ SKO 27°01'32" SCH 27°01'33" A°	MER 45 HAU SCH 13°29'31" WAA 28°29'32" T-2	
	<b>Pal 0 SAT</b> STE 28°34'24" STE 28°34'24" A°	MER 135 MAR SCH 02°35'42" WID 17°35'40" H ---	MER 150 APO SCH 04°51'32" STI 04°51'33" A	SON 45 EL6 SCH 13°23'48" WAA 28°23'49" A	VEN 150 MAR SKO 18°16'15" WID 18°16'16" HK +2	VEN 135 CHI SKO 19°58'24" WID 04°58'22" T K? -2	MAR 144 ORC WID 19°13'43" JUN 13°13'43" H 4	VEN 60 PLU SKO 23°31'31" STE 23°31'31" T K ---	VEN 150 ERI SKO 23°32'24" WID 23°32'23" H+2	
	VEN 60 VES SKO 14°00'19" JUN 14°00'19" A			<b>JUP 30 GaZ</b> STE 27°01'33" SCH 27°01'33" H°+6	SON 45 PAL SCH 14°37'56" STE 29°37'56" A	VEN 150 KNI SKO 20°08'43" ZWI 18°11'48" H K ---	SON 90 NEP SCH 18°11'47" FIS 18°11'48" T K -3	VEN 150 ERI SKO 23°32'15" WID 23°32'15" A°(4,5)		
				SON 45 SAT SCH 13°49'33" STE 28°49'33" A	MER 150 URA SCH 07°20'27" STI 07°20'28" H+1		VEN 45 MAK SKO 22°42'21" WAA 07°42'23" T-2	<b>PLU 90 ERI</b> STE 23°32'15" WID 23°32'15" A°(4,5)		
				VEN 45 GSZ SKO 17°20'41" WAA 02°20'43" H+2	<b>CER 30 CHI</b> FIS 04°58'53" WID 04°58'53" H°+5					
				VEN 72 PAL SKO 17°24'41" STE 29°24'40" Hf W? +8 / 0	CER 150 VAR FIS 04°59'42" LOW 04°59'42" A°					
				MAR 30 NEP WID 18°10'36" FIS 18°10'37" H+4	SON 90 VES SCH 15°02'58" JUN 15°02'58" A					
				MER 60 FY9 SCH 07°40'26" WAA 07°40'28" A						
				VEN 45 QUA SKO 18°51'23" STE 03°51'23" T-2						





Dezember 2020



Prognose für SW-Deutschland

aktualisierter Index 3

Vom 27.11. bis 03.12. Vesta 0° Orcus, vom 29.11. bis 07.12. Pallas 0° Saturn. Am 11./12. Sonne 0° absteigender Mondknoten, vom 13. bis 30. Jupiter 0° Saturn, vom 16. bis 31. Uranus 0° Apogäum (Dauerauslösung Uranus 150° Makemake H+9 wird wegen Gewöhnungseffekt nur drei Tage lang angerechnet), 18./19. Sonne 0° GaZ, 20. bis 25. Mars 0° Eris, 25./26. Sonne 0° Quaar. Die rot markierten Aspekte im Index 3 sind Aspekte, bei denen der ursprüngliche Konjunktionsplanet den höheren Rang hat als der Partnerplanet. Das bedeutet, dass der Konjunktionsplanet bei diesen Aspekten immer als Planet 2 auftritt. Diese Aspekte werden ab Januar 2020 nicht mehr angerechnet.

Langsamläufer-Impulse	H*	2H*				H*				H*
Schnellläufer-Impulse	Hf, T	Tf, T, 2H	T, H	T, Hf, 2H	3T, H	H		2H	4H	2T, H
Temperaturimpulse	2W	K?, W?	K	2W			W		W, K	
Premeteo-Index -zyklonal, + antizyklonal (Index 1+2+3)	4	7	19	7	-3	21	22	31	42	8
Pre.IX (ALTERNATIV)		-3		21				24		
Index 1 (12 - 12 UTC) exakte Aspekte des Tages	4	10	5	3	-7	0	6	8	11	-9
Index 1 (ALTERNATIV)		0		10						
Symmetrien (0 - 0 UTC)	GaZ 7 Son Qua (16) H ? ... Hau 9op Mar Ura (21) A H? (5) 15 ... Jun 29 Hau GaZ (23) A? A? ? ?	Mer 91 Nep Ves (23) H K H A? +14	Sed 180 Ven Jun (14) A H? +7 Ven 29 Hau GaZ (22) A T ? -7/0	GaZ 7 Qua Mer (15) H? (3) 0 H ...	Eri 144 Ven Ves (13) T H? H?	Son 2 GaZ Mer (12) H H +14 Auslösung Index 3!	Eri 144 Jun Ves (03) A? H? A? +7 Sed 151 Hau GaZ (14) ? H? (1) 0 ? ... Ven 60 Pal GSZ (22) H A? A? +7	Sed 151 Son Hau (11) H ? T +7/0 GaZ 0 Son Mer (20) H H +14 Circ 5op Nep Cer (23) ? A? ...	Sed 151 Hau Mer (01) ? A A ... Qua 30 Ven Pal (09) H H? H+14 Mer 0 Son GaZ (09) H H (+14) Var 120 Ven Chi (10) H H (8) 0,5 A K ... Ven 120 Chi Var (14) A K H H (8) 0,5 ... Chi 120 Ven Var (18) A K H (8) 0,5 H ...	Mak 151 Ura Cer (12) H? A? A? +14 Ura 151 Ven Mak (15) A H? H (+14) Cer 45 Piu Eri (18) A? A? A? (4) 5 ...
Index 2 (12 - 12 UTC) Index 2 ALTERNATIV	0	0	14	0	0	14	7	14	28	14
ausgelöste Aspekte (= durch Konjunktionen aktivierte Aspekte)	(Son 180 Kni T-3)	Son 135 Apo T-3 (Son 180 Kni T-3)		Mer 72 Mak T-1 Jun 180 Sed H5	(Mer 120 Mar T-1) (Mer 135 Var H1) Mer 72 Mak T-1 (Mer 135 Apo H1) (Ven 60 Sat T-2) Jun 180 Sed H5	Auslösung durch Index 2: Sed 150 Hau ? Sed 150 GaZ HP? (1/0) Ven 60 Sat T-2 Ura 150 Mak H9	Ura 150 Mak H9	Ura 150 Mak H9 Sed 150 GaZ HP? (1/0)	Son 150 Sed H3 (Ura 150 Mak H9) Sed 150 GaZ HP? (1/0)	Son 150 Sed H3 (Ura 150 Mak H9) Ven 144 Eri H5 Plus 90 Eri A? (4) 5
Index 3 (Summe)	0	-3	0	4	4	7	9	9	3	3
Index 3 ALTERNATIV	3	3	2	3	3	2	2	2	2	3
Symbol-Prognose	3	3	2	3	3	2	2	2	2	3
Wochentag	Fr	Sa	So	Mo	Di	Mi	Do	Fr	Sa	So
Datum	11	12	13	14	15	16	17	18	19	20
reale Wetterlage	T3: Tf, 2T - 3H*, Hf, 2H / +11		H3: Hf, 3H - 2T / +26		T4: 3T - H / -3	H4: 2H*, 8H - 2T / +124				
Luftdruck (hpa) 06 UTC	1001,7	995,8	1011,9	1014	1012,5	1018	1021,7	1026,3	1019,9	1020,1
mittl. Temp. (°C)	1,8	7,5	6,5	4,2	6,8	6,7	5,5	3,1	5,3	7,5
Sonnenscheindauer (h)	0,4	0,6	0,4	1,8	0	2,4	0	0,4	0,9	0
Niederschlag (Liter)	3,3 / 3	6,6 / 6,5	0,4 / 4	0	7 / 7	0	0	0	0,8	1,8 / 2
Bodenwetterlage 00 UTC (Kernlage des Druckgebets, das SW-D beeinflusst)	H ü Alpen, T s Island	T-Syst mit Kernen s Isl u Nsee	T ü Benel, ü SW-F	H ü Alpen, T ü NO-Atl	T s Island, T ü Benel	H ü W-Ukrai, T ü Osee, T ü LöwG	H ü SchwM, T n Schottl	H ü O-Alpen	H ü Balkan	H ü W- Ukrai, T nw Schottl
Bodenströmung 12 UTC zyklonal (z. antizyklonal (a))	z	a-z	a	a	fl z	a-z	a	fl a	a-z	a-z
Strömung auf 500 hpa 00 UTC	NW a	SW z	NW fl a	NW a	SW a	SW a-z	SW a-z	SW a-z	SW a-z	SW a-z
zutreffende Wettersymbole	5 hr	5 hr	5 f	5 hr	5 hr	3-5 f	5 f	2-5 hr	5 f	5 hr

MER 72 GSZ SCH 14°20'45" WAA 02°20'45" Hf +7	00:15	MAR 60 KNI WID 19°54'55" ZWI 19°54'55" Tf -/10	03:03	VEN 30 GaZ SKO 27°01'34" SCH 27°01'33" T-2	07:13	JUN 30 EL6 WAA 28°33'21" A*	JUN 30 EL6 WAS 02°20'48" WAA 02°20'48" A*	07:47	PAL 120 GSZ WAS 02°20'48" WID 23°30'30" H+1	00:25	MER 120 ERI SCH 23°30'29" STE 29°28'14" A*	20:26	JUP 60 JUN STE 29°28'14" SCH 03°26'02" WAS 03°26'01" H+2	02:34	VEN 60 PAL SCH 03°26'02" WAS 03°26'01" H+2	10:20	VEN 30 QUA SCH 04°10'33" STE 04°10'35" H+2	00:35	SON 60 HAU SCH 28°38'35" WAA 28°38'32" T-3	02:04
MER 45 SAT SCH 14°21'52" STE 29°21'50" A	00:32	JUN 180 SED SKO 27°51'56" STI 27°51'56" H* +10	05:38	MER 90 NEP SCH 18°13'24" FIS 18°13'24" H K +1	11:40	MER 72 FY9 SCH 19°44'53" STI 07°06'27" T-1	11:00	URA 60 CER STI 07°06'27" A*	01:11	VES 144 ERI JUN 17°30'28" SCH 23°30'28" H* +5	23:25	SON 72 CER SCH 25°40'41" FIS 07°40'41" A W	04:12	MER 72 CER SCH 26°01'34" FIS 08°01'35" A	10:48	MER 0 GaZ SCH 27°01'36" H+2	02:01	MER 60 EL6 SCH 28°38'35" WAA 28°38'33" T-3	02:34	
SON 120 MAR SCH 19°39'02" WID 19°39'02" A W	06:02	SON 135 APO SCH 20°40'26" STI 05°40'27" T K ?-3	06:11	SON 135 URA SCH 22°08'28" STI 07°08'29" A	16:48	MER 180 KNI SCH 19°47'26" ZWI 19°47'25" A	11:39	SON 120 ERI SCH 23°30'25" WID 23°30'60" A	01:14	MER 30 PLU SCH 23°42'56" STE 23°42'56" A	23:36	JUN 144 ERI SCH 23°30'25" WID 23°30'25" A*	05:14	SON 0 GaZ SCH 27°01'36" SCH 27°01'34" H+6	11:59	SON 150 SED SCH 27°01'36" STI 27°48'02" H+3	06:14	CER 45 ERI FIS 08°29'41" WID 23°29'41" A	03:18	
JUP 135 ORC STE 28°13'46" JUN 13°13'46" A*	06:30	MER 90 VES SCH 16°27'38" JUN 16°27'37" H+1	08:40	VEN 180 SED SKO 27°50'56" STI 27°50'57" A	23:02	VEN 30 EL6 SKO 28°33'32" WAA 28°33'33" A	12:41	FY9 72 KN2 WAA 07°45'13" SCH 19°45'13" A*	04:15	CER 150 FY9 FIS 07°46'17" WAA 07°46'16" A*	12:26	VEN 60 GSZ SCH 04°49'12" LÖW 04°49'11" A	10:59	SAT 60 JUN WAS 00°14'17" SCH 00°14'18" A*	12:57	MER 0 SON SCH 28°42'04" SCH 28°42'05" H --	03:27	MER 144 VAR SCH 28°48'32" LÖW 04°48'33" A	05:05	
SON 72 FY9 SCH 19°43'14" WAA 07°43'14" A	07:41	MER 45 PAL SCH 16°31'17" WAS 01°31'16" H+2	09:36	MER 135 VAR SCH 19°44'53" LÖW 04°53'36" Hf 0+7	13:13	MER 120 MAR SCH 20°53'14" WID 20°53'14" T-1	14:22	VEN 60 GSZ SCH 04°49'11" WAA 02°20'49" A	04:25	VEN 120 VAR SCH 28°48'32" LÖW 04°48'33" A	13:28	VEN 120 VAR SCH 28°48'32" LÖW 04°48'33" A	12:57	MER 144 VAR SCH 28°48'32" LÖW 04°48'33" A	12:57	MER 144 VAR SCH 28°48'32" LÖW 04°48'33" A	05:05	MER 144 VAR SCH 28°48'32" LÖW 04°48'33" A	05:05	
SON 135 VAR SCH 19°56'04" LÖW 04°56'04" A	12:44	VEN 144 MAR WID 20°01'51" WAA 28°31'47" H* +6	12:05	VEN 0 JUN SKO 28°38'47" STE 23°39'43" H W +4	14:22	SON 30 PLU SCH 23°39'43" STE 23°39'43" A	04:20	VEN 72 JUN JUN 17°39'36" SKO 29°39'36" A*	04:40	VEN 120 VAR SCH 28°48'32" LÖW 04°48'33" A	16:28	MER 150 SED STI 27°47'52" A	13:44	SON 144 VAR SCH 28°48'32" LÖW 04°48'33" T-6	15:24	SON 144 VAR SCH 28°48'32" LÖW 04°48'33" T-6	05:59	SON 144 VAR SCH 28°48'32" LÖW 04°48'33" T-6	05:59	
PAL 135 VES WAS 01°18'09" JUN 16°18'09" A*	16:51	JUP 90 HAU STE 28°31'47" WAA 28°31'47" H* +6	18:47	VEN 60 JUP SKO 28°59'30" STE 28°59'29" A W	21:00	MER 135 APO SCH 21°00'30" STI 06°00'31" H --	06:16	VEN 72 VES SKO 29°03'18" JUN 17°03'18" H --	21:00	VEN 144 ERI SKO 29°30'56" WID 29°30'56" T-2	21:45	NEP 45 PAL FIS 18°15'58" WAS 03°15'58" A*	21:45	VEN 120 CHI SCH 04°56'51" WID 04°56'50" A K	15:24	VEN 120 CHI SCH 04°56'51" WID 04°56'50" A K	19:38	PAL 30 QUA WAS 04°13'34" STE 04°13'34" H* +5	21:32	
VAR 45 KNI LÖW 04°55'49" ZWI 19°55'49" H* (10)5 --	20:13	VEN 72 ORC SKO 25°13'45" JUN 13°13'47" A	20:40	VEN 60 SAT SKO 29°49'31" STE 29°49'32" T-4	22:44	MER 135 URA SCH 22°05'10" STI 07°05'09" A	07:04		22:44											

**Dezember 2020**  **Prognose für SW-Deutschland**  
 aktualisierter Index 3

Vom 27.11. bis 03.12. Vesta 0° Orcus, vom 29.11. bis 07.12. Pallas 0° Saturn. Am 11./12. Sonne 0° absteigender Mondknoten, vom 13. bis 30. Jupiter 0° Saturn, vom 16. bis 31. Uranus 0° Apogäum (Dauerauslösung Uranus 150° Makemake H°+9 wird wegen Gewöhnungseffekt nur drei Tage lang angerechnet), 18./19. Sonne 0° GaZ, 20. bis 25. Mars 0° Eris, 25./26. Sonne 0° Quaoar. Die rot markierten Aspekte im Index 3 sind Aspekte, bei denen der ursprüngliche Konjunktionsplanet den höheren Rang hat als der Partnerplanet. Das bedeutet, dass der Konjunktionsplanet bei diesen Aspekten immer als Planet 2 auftritt. Diese Aspekte werden ab Januar 2020 nicht mehr angerechnet.

Langsamläufer-Impulse		H*				H*		H*	H*			
Schnellläufer-Impulse	3T, H		2Hf			2T, H	4T	T, 2H	T, H	H, T	T	2T, H
Temperaturimpulse	2K	W*, K	K?, K	K, W	K	2W	W	K, W		K, W		
Premeteo-Index -zyklonal, + antizyklonal (Index 1+2+3)	0	-10	7	26	-3	-4	-14	-1	2	16	14	
Pre.IX (ALTERNATIV)												
Index 1 (12 - 12 UTC) exakte Aspekte des Tages	3	-7	10	16	-3	-4	0	2	5	9	-2	
Index 1 (ALTERNATIV)												
Symmetrien (0 - 0 UTC)	Mer 4 Qua GaZ (09) A H ...	Son 4 Qua GaZ (01) H H (+7) Auslösung Index 3! Son 30 Sat Jun (06) T A A* (-7) Son 30 Jup Jun (07) T K A A* (-7) Mer 1 Son Qua (18) H A ... Auslösung Index 3!	Jun 59 Sat GSZ (09) A* A* H*(12.5/4) ... Jun 59 Jup GSZ (19) A* A* H* ...	Qua 1 Son Mer (11) H A +7 Auslösung Index 3!			Hau 46 Ven Orc (02) T* T* T#	Qua 7 GaZ Mer (09) H*(3/0) A ...	Var 2op Jup Pal (15) H* (11/3) H* (+14) wegen Var 150 Qua T* T* Mer 10 Plu Qua (21) H A ...	Var 8 Jup Mer (19) H* H* ...	Ven 15 Jun Qua (01) H* +14 Ven 89 Nap Ves (01) T K A A* ... Mer 143 Jun Ves (05) A H A* --Index 1 GaZ 8 Ven Qua (07) A H*(13/0) ... Plu 7 Sat Mer (10) H*(4/2) H* -- Var 3op Sat Plu (11) H*(7/2) H* -- wegen Var 150 Qua T* Var 120 Ch Jun (18) H*(8/0.5) H* A* -- Mer 7 Son Plu (19) H H Chi 3op Mak GSZ (23) H*(4/2) T*(2/5) ...	
Index 2 (12 -12 UTC)	0	0	0	7	0	0	-14	0	0	0	14	
Index 2 ALTERNATIV												
ausgelöste Aspekte (= durch Konjunktionen aktivierte Aspekte)	Son 60 Hau T-3 Ves 144 Eri H5 (Ura 150 Mak H9) Plu 90 Eri A*(4/5)	Auslösung Index 3! (Son 30 Sat T-3) Son 30 Sat T-3 (Ura 150 Mak H9) Plu 90 Eri A*(4/5)	Son 30 Sat T-3 (Ura 150 Mak H9) Plu 90 Eri A*(4/5)	Auslösung Index 3! Son 90 GSZ H+3 Pal 30 Qua H5 Var 150 Qua T-11 (Ura 150 Mak H9) Plu 90 Eri A*(4/5) Chi 90 Qua H*(5,5/2) Qua 144 Sed A*(5,5/5)	Mer 120 Ura T-1 Var 150 Qua T-11 (Ura 150 Mak H9) Plu 90 Eri A*(4/5) Chi 90 Qua H*(5,5/2) Qua 144 Sed A*(5,5/5)	Var 150 Qua T-11 (Ura 150 Mak H9) Chi 90 Qua H*(5,5/2) Qua 144 Sed A*(5,5/5)	(Ura 150 Mak H9)	Son 120 Ura T-3 (Ura 150 Mak H9)	Son 120 Ura T-3 (Ura 150 Mak H9)	Sat 120 GSZ H7	Ven 72 Mak H2	
Index 3 (Summe)	-3	-3	-3	3	0	0	0	-3	-3	7	2	
Index 3 ALTERNATIV												
Symbol-Prognose	3	5	3	2	3	3	5	3	3	2	2	
Wochentag	Mo	Di	Mi	Do	Fr	Sa	So	Mo	Di	Mi	Do	
Datum	21	22	23	24	25	26	27	28	29	30	31	
reale Wetterlage	T5: 3T - H*, 2Hf, H / -3			H5: H- 6T / +19			T6: 6T - 3H*, 5H / +17					
Luftdruck (hpa) 06 UTC	1024,4	1018,9	1016,4	1012,1	1020,2	1028,2	1009,4	980,7	987,7	1002,2	1006,5	
mittl. Temp.(°C)	7,7	13,4	13,4	7,8	2,8	1,3	4	5,7	5,2	4,4	3,6	
Sonnenscheindauer (h)	0	0	0	0	0,4	3,4	0	1,6	1	0,2	0	
Niederschlag (Liter)	0,8 / 2	0 / 5	5,7 / 6	6,4 / 6	0 / 18	0 / 1	0,1	4,2 / 3	2,3	0 / 7	3,1	
Bodenwetterlage 00 UTC (Kernlage des Druckgebets, das SW-D beeinflusst)	H ü W-Ukrai	T ü Nm	H ü N-Italien, T ü SW-GB	T ü Ärmel u. N-D	H ü O-Atl, Tü GG	H ü MO-Atl, Tü GG	T n Schottl, T-Syst. ü S-Iber, H ü Iber, H ü O-Alp u. Karo	T-Syst m Kernen ü GB u Nm	T-Syst m Kernen ü Benel u GB	T-Syst m Kernen ü Däne, Nm, GG	T ü Ärmel, T ü Nsee	
Bodenströmung 12 UTC zyklonal (z), antizyklonal (a)	z	a-z	z	fl a	a	a	z	a-z	fl a	a-z	z	
Strömung auf 500 hpa 00 UTC	W z	W fl a	W a	SW a-z	W fl z	SW fl a	N fl a	SW z	W z	SW z	W z	
zutreffende Wettersymbole	5 hr	5 r	5 hr	5 f	5 hr	3-5 hr	5 r	5 hr	5 hr	5 f	5 f	

VEN 150 APO SCH 06°38'54" STI 06°38'54" TK-2	00:03	CER 72 GaZ FIS 09°01'35" SCH 27°01'35" A* W*	00:30	VEN 90 CER SCH 09°21'16" FIS 09°21'16" AK?	03:59	MER 90 CHI STE 04°58'19" WID 04°58'17" AK	02:13	SON 144 SED STE 03°45'02" STI 27°45'02" T---	02:26	SON 150 VAR STE 04°42'51" LOW 04°42'51" T---	01:08	VEN 72 GSZ SCH 14°20'54" WAA 02°20'54" T-4	03:47	SON 120 URA STE 06°50'57" STI 06°50'57" TK-3	03:26	SON 90 MAK STE 07°49'42" WAA 07°49'42" H+3	02:30	VEN 120 APO STE 07°49'42" WAA 07°49'42" TK-2	05:13	MAR 120 GaZ WID 27°01'37" SCH 27°01'37" T-4
MER 30 JUP STE 00°21'37" WAS 00°21'36" A	04:36	MER 90 GSZ STE 02°20'51" WAA 02°20'52" A	10:39	CHI 60 PAL WID 04°57'54" WAS 04°57'54" A*	04:23	MER 30 PAL STE 05°20'03" WAS 05°20'03" T K-1	07:40	MER 120 URA STE 06°53'40" STI 06°53'39" T-2	07:06	VEN 90 ORC SCH 13°11'27" JUN 13°11'27" T-2	05:35	MAR 144 VES WID 25°30'15" JUN 19°30'15" H+4	14:20	VES 45 VAR JUN 19°40'09" LOW 04°40'09" A*	15:50	MER 120 ORC STE 13°10'23" JUN 13°10'24" A	04:49	VEN 90 NEP SCH 18°26'42" SCH 18°26'44" TK-2	10:20	VEN 135 VAR SCH 19°37'18" LOW 04°37'17" T---
MER 30 SAT STE 00°25'43" WAS 00°25'44" AK	05:38	VEN 135 MAR SCH 08°28'35" WID 23°28'34" AK	11:08	MER 144 SED STE 03°45'56" STI 27°45'55" A	08:03	MER 72 NEP STE 06°21'25" STI 07°08'39" T-2	23:02	MER 120 APO STE 07°08'40" SCH 13°14'06" STI 07°14'06" T-2	10:51	VEN 144 APO SCH 13°14'06" STI 07°14'06" T-4	06:26	MER 60 CER STE 10°40'15" FIS 10°40'13" A	15:35	VEN 45 SAT SCH 16°14'57" WAS 01°14'56" A	16:14	VEN 45 JUP SCH 17°12'00" WAS 02°12'01" T-2	16:14	VEN 180 KNT SCH 18°55'33" ZWI 18°55'32" A W	10:26	VEN 72 MAK SCH 19°50'11" WAA 07°50'02" H+2
VEN 150 URA SCH 06°58'08" STI 06°58'08" A	06:12	VEN 135 ERI SCH 08°29'09" WID 23°29'10" A	11:19	URA 0 APO STI 06°55'33" STI 06°55'33" A*	11:50	VEN 90 KNI JUN 19°11'44" ZWI 19°11'44" A*	18:38	SON 0 QUA STE 04°21'12" STE 04°21'13" H+6	07:39	SON 90 CHI STE 04°59'27" WID 04°59'25" A W	17:09	VEN 45 HAU SCH 13°43'40" WAA 28°43'39" T-4	15:53	SON 72 N6P STE 06°23'57" FIS 18°23'57" A W	19:10	SON 120 APO STE 07°31'02" STI 07°31'01" A W	16:36	PAL 144 ORC WAS 07°10'07" JUN 13°10'07" H*+5	22:13	FY9 150 APO WAA 07°50'03" STI 07°50'03" A*
PLU 45 CER STE 23°51'02" FIS 08°51'02" A*	09:38	MAR 0 ERI WID 23°29'10" WID 23°29'10" A*	11:46	MAR 90 PLU WID 23°29'10" STE 23°55'11" A*	14:54	MER 90 F99 STE 07°49'02" WAA 07°49'02" A	20:56	VEN 144 URA SCH 12°52'56" STI 06°52'57" A	23:40	VEN 144 URA SCH 12°52'56" STI 06°52'57" A	17:09	SON 72 N6P STE 06°23'57" FIS 18°23'57" A W	16:49	URA 90 PAL STE 06°50'17" WAS 06°50'17" A*	22:05	MER 135 SED STE 12°43'11" STI 27°43'13" A	22:05	VEN 90 VES SCH 20°06'43" JUN 20°06'43" A	18:17	PAL 120 FY9 WAS 07°50'05" WAA 07°50'05" A*
PAL 135 KNI WAS 04°25'08" ZWI 19°25'09" A*	11:53	PAL 180 VAR WAS 04°46'17" LOW 04°46'17" H*+10	14:03	MER 0 QUA STE 04°17'60" STE 04°17'59" A	16:06	MER 90 F99 STE 07°49'02" WAA 07°49'02" A	20:56	VEN 144 URA SCH 12°52'56" STI 06°52'57" A	23:40	VEN 144 URA SCH 12°52'56" STI 06°52'57" A	17:09	SON 72 N6P STE 06°23'57" FIS 18°23'57" A W	16:49	URA 90 PAL STE 06°50'17" WAS 06°50'17" A*	22:05	MER 135 SED STE 12°43'11" STI 27°43'13" A	22:05	VEN 90 VES SCH 20°06'43" JUN 20°06'43" A	18:17	PAL 120 FY9 WAS 07°50'05" WAA 07°50'05" A*
MER 30 JUN STE 00°54'55" SCH 00°54'54" A	13:00	SON 30 JUN STE 01°16'58" SCH 01°16'57" A	16:17	SON 90 GSZ STE 02°20'52" WAA 02°20'52" Hf+9	17:23	MER 150 VAR STE 04°44'58" LOW 04°44'57" Hf K+7	22:52	JUN 60 GSZ SCH 02°20'54" WAA 02°20'54" A*	23:54	JUN 60 GSZ SCH 02°20'54" WAA 02°20'54" A*	17:09	SON 72 N6P STE 06°23'57" FIS 18°23'57" A W	16:49	URA 90 PAL STE 06°50'17" WAS 06°50'17" A*	22:05	MER 135 SED STE 12°43'11" STI 27°43'13" A	22:05	VEN 90 VES SCH 20°06'43" JUN 20°06'43" A	18:17	PAL 120 FY9 WAS 07°50'05" WAA 07°50'05" A*
JUP 0 SAT WAS 00°29'11" WAS 00°29'11" A(4/6,5)	18:33	VEN 45 PLU SCH 08°53'38" STE 23°53'38" A	19:09	MER 150 VAR STE 04°44'58" LOW 04°44'57" Hf K+7	22:52	JUN 60 GSZ SCH 02°20'54" WAA 02°20'54" A*	23:54	JUN 60 GSZ SCH 02°20'54" WAA 02°20'54" A*	23:54	JUN 60 GSZ SCH 02°20'54" WAA 02°20'54" A*	17:09	SON 72 N6P STE 06°23'57" FIS 18°23'57" A W	16:49	URA 90 PAL STE 06°50'17" WAS 06°50'17" A*	22:05	MER 135 SED STE 12°43'11" STI 27°43'13" A	22:05	VEN 90 VES SCH 20°06'43" JUN 20°06'43" A	18:17	PAL 120 FY9 WAS 07°50'05" WAA 07°50'05" A*
SON 30 SAT STE 00°30'09" WAS 00°30'08" T-3	21:54	VEN 45 PLU SCH 08°53'38" STE 23°53'38" A	19:09	MER 150 VAR STE 04°44'58" LOW 04°44'57" Hf K+7	22:52	JUN 60 GSZ SCH 02°20'54" WAA 02°20'54" A*	23:54	JUN 60 GSZ SCH 02°20'54" WAA 02°20'54" A*	23:54	JUN 60 GSZ SCH 02°20'54" WAA 02°20'54" A*	17:09	SON 72 N6P STE 06°23'57" FIS 18°23'57" A W	16:49	URA 90 PAL STE 06°50'17" WAS 06°50'17" A*	22:05	MER 135 SED STE 12°43'11" STI 27°43'13" A	22:05	VEN 90 VES SCH 20°06'43" JUN 20°06'43" A	18:17	PAL 120 FY9 WAS 07°50'05" WAA 07°50'05" A*
VEN 60 MAK SCH 07°47'56" WAA 07°47'55" H+2	22:08	VEN 45 PLU SCH 08°53'38" STE 23°53'38" A	19:09	MER 150 VAR STE 04°44'58" LOW 04°44'57" Hf K+7	22:52	JUN 60 GSZ SCH 02°20'54" WAA 02°20'54" A*	23:54	JUN 60 GSZ SCH 02°20'54" WAA 02°20'54" A*	23:54	JUN 60 GSZ SCH 02°20'54" WAA 02°20'54" A*	17:09	SON 72 N6P STE 06°23'57" FIS 18°23'57" A W	16:49	URA 90 PAL STE 06°50'17" WAS 06°50'17" A*	22:05	MER 135 SED STE 12°43'11" STI 27°43'13" A	22:05	VEN 90 VES SCH 20°06'43" JUN 20°06'43" A	18:17	PAL 120 FY9 WAS 07°50'05" WAA 07°50'05" A*
SON 30 JUP STE 00°31'23" WAS 00°31'23" TK-6	22:23	VEN 45 PLU SCH 08°53'38" STE 23°53'38" A	19:09	MER 150 VAR STE 04°44'58" LOW 04°44'57" Hf K+7	22:52	JUN 60 GSZ SCH 02°20'54" WAA 02°20'54" A*	23:54	JUN 60 GSZ SCH 02°20'54" WAA 02°20'54" A*	23:54	JUN 60 GSZ SCH 02°20'54" WAA 02°20'54" A*	17:09	SON 72 N6P STE 06°23'57" FIS 18°23'57" A W	16:49	URA 90 PAL STE 06°50'17" WAS 06°50'17" A*	22:05	MER 135 SED STE 12°43'11" STI 27°43'13" A	22:05	VEN 90 VES SCH 20°06'43" JUN 20°06'43" A	18:17	PAL 120 FY9 WAS 07°50'05" WAA 07°50'05" A*



## Dezember 2020: Fehlprognosen

Datum	Vorzeichen Symbol	Analyse
1.	+1 5 hr	Tief Undine III über der Nordsee. <b>Flacher Premeteo-Index</b> , am Folgetag negativ.
5.	+12 5 f	Tief Wenke über dem Westmittelmeer. Tiefdruckaspekte zu Beginn des Tages waren Merkur 120° Varuna T und Sonne 144° Uranus T, dann folgten nur noch H-Aspekte.
8.	+7 2-5 r	Tief Xunav über der nordwestlichen Nordsee. <b>Flacher Premeteo-Index</b> , am Folgetag negativ. <b>Einzelner, positiver Tag.</b>
9.	-2 3-5 hr	Tief Xunav I über Schottland. Es entwickelte sich bis 12 UTC über unserer Region eine flache antizyklonale Strömung, die am 10. eine sehr schmale, flache Hochdruckbrücke ausbildete zwischen dem Tiefdrucksystem Zölestine mit Kernen südlich von Island sowie über Südwestengland und dem Tiefdrucksystem Yvonne mit Kernen über Norditalien sowie dem Balkan. <b>Flacher Premeteo-Index, auf 500 hPa zyklonal.</b>
10.	-4 5 hr	Flache Hochdruckbrücke zwischen dem Tiefdrucksystem Zölestine mit Kernen südlich von Island sowie über Südwestengland und dem Tiefdrucksystem Yvonne mit Kernen über Norditalien sowie dem Balkan. <b>Flacher Premeteo-Index, auf 500 hpa zyklonal.</b>
11.	+4 5 hr	Hoch über den Alpen. Doch ging bis 12 UTC die Atmosphäre über unserer Region in eine zyklonale Strömung über. <b>Flacher Premeteo-Index.</b>
12.	+7 5 hr	Tiefdrucksystem Andira mit Kernen südlich von Island, über der Nordsee und westlich von Korsika. <b>Flacher Premeteo-Index.</b> Mit Sonne 120° Mars W / 180° Kn1 TW / 135° Apogäum TK? kam es zur Zufuhr sehr warmer Luftmassen, die die Zyklonalisierung verstärkte. Der starke Aspekt Mars 60° Kn1 Tf war wegen des fast-exakten Aspekts Mars 144° Orcus H nicht angerechnet worden, hatte aber wohl doch den größeren Regionalbezug.
23.	+7 5 hr	Hoch über Norditalien. <b>Flacher Index, auf 500 hPa antizyklonal.</b>
25.	-3 5 hr	Hoch Zven über Atlantik. <b>Flacher Index, auf 500 hPa zyklonal.</b>
26.	-4 3-5 hr	Hoch Zven über Atlantik. <b>Flacher Index.</b>
29.	+2 5 hr	Tief Hermine mit Kernen über Großbritannien, dem Nordmeer und über den Beneluxländern. <b>Flacher Index.</b>
30.	+16 5 f	Tiefdrucksystem Hermine mit Kernen über dem Nordmeer, Dänemark, dem Golf von Genua und Tief Kira über der Adria. Der hohe positive Premeteo-Index kam von den Aspekten Pallas 144° Orcus H* und Saturn 120° GSZ H*. Es kam nur zu einem relativ geringen und langsamen Luftdruckanstieg, möglicherweise durch zwei weitere Venus-T-Aspekte, die am 29. und 30. exakt wurden: Venus 45° Jupiter und 90° Neptun sowie 0° absteigender Mondknoten W. Sie setzten die Venus-T-Serie fort, die den Tiefdruckabfall vom 26. zum 27. über Südwestdeutschland eingeleitet hatten.
31.	+14 5 f	Tief Julia II über dem Ärmelkanal, Tief Hermine über der Nordsee und Tief Kira über der Adria. Venus 135° Varuna T / 72° GSZ H beenden die Venus-T-Aspekt-Serie. Es wurde schon einige Male beobachtet, dass eine solche Serie von kurzzeitig auf einander folgenden Venus-T-Aspekten sich gegenüber zeitgleich auftretenden, höherrangigen H-Aspekten durchsetzt. Außerdem steht die retrograd rotierende Venus häufig mit Impulsumkehrungen in Verbindung,

## Monatsauswertung (Lahr)

Dez 20

### H-Wetterlagen

	Anzahl der Wetterlagen	Anzahl der Tage	Niederschlag in Liter	H*	Hf	H	T*	Tf	T	L
normal	3	8	4,2 / 10,5	4	1	13	0	0	6	0
anormal	2	5	6,4 / 25	2	0	4	0	0	13	0
gesamt	5	13	10,6 / 35,5	6	1	17	0	0	19	0

Verhältnis H/Tage = 24/13 = 1,85  
 Verhältnis T/Tage = 19/13 = 1,46

### T-Wetterlagen

	Anzahl der Wetterlagen	Anzahl der Tage	Niederschlag in Liter	H*	Hf	H	T*	Tf	T	L
normal	2	3	7 / 7	0	0	1	0	0	5	0
anormal	4	15	34,9 / 51,5	8	4	14	2	1	14	0
gesamt	6	18	41,9 / 58,5	8	4	15	2	1	19	0

Verhältnis H/Tage = 27/18 = 1,5  
 Verhältnis T/Tage = 22/ 18 = 1,22

ganzer Monat	Anzahl der Wetterlagen	Anzahl der Tage	Niederschlag in Liter	H*	Hf	H	T*	Tf	T	L
	11	31	52,5 / 94	14	5	32	2	1	38	0

Gesamtzahl H-Aspekte: 51  
 Gesamtzahl T-Aspekte: 41  
 Zahl aller Aspekte: 200  
 Quotient H/T = 1,24  
 Gesamtzahl L-Aspekte: 0

Niederschlag Durbach: s.o. hinter Schrägstrich

r = richtig hr = halbrichtig f = falsch

Symbolprognose in Tagen	3 r 19 hr 9 f
-------------------------	---------------

Premeteo-Index pro Tag	HWL +202/13 = +15,54	TWL +21/18 = + 1,17
------------------------	----------------------	---------------------

bezüglich des Vorzeichens richtige Tage	18	bezüglich des Vorzeichens falsche Tage	13
---	----	--	----

Bei der Auswertung des Januar 2017 wurde entdeckt, dass im Index 3 möglicherweise nur dann Auslösungsaspekte aktiviert werden, wenn der Konjunktionsplanet einen Aspekt mit einem Planeten bildet, der einen höheren Rang hat als der betroffene Konjunktionsplanet selbst. Dies bestätigte sich im Laufe des ganzen Jahres 2017. Manchmal entstand der Eindruck, dass die im korrigierten Index 3 nicht mehr angerechneten Aspekte auf 500 hpa zum Teil doch anwesend waren. Ab Januar 2018 werden nur noch die im Index 3 korrigierten Prognosen ausgewertet.